

Ondes gravitationnelles un regard neuf sur l'Univers

Frédérique Marion



CPPM

10 décembre 2016

Gravitation

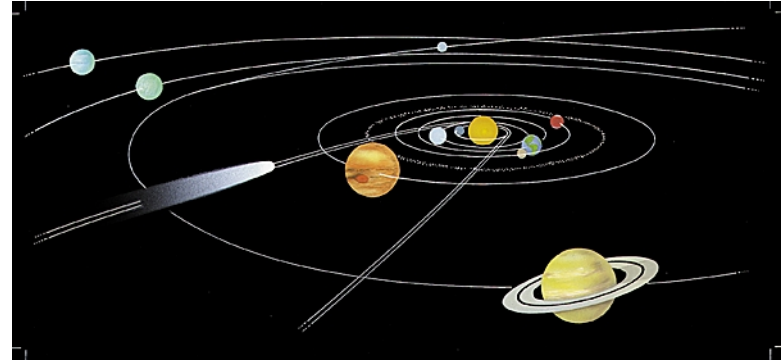
- Une des quatre **forces fondamentales de la nature**
- De loin l'interaction la **moins intense**
 - Entre deux électrons :
force électromagnétique
/ force gravitationnelle $\sim 4 \cdot 10^{42}$

- La **pesanteur**



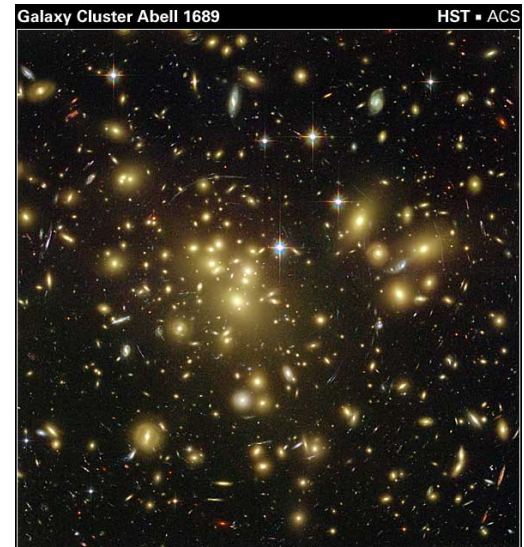
archives Reuters

- Les systèmes planétaires



Larousse

- La **structure** à grande échelle de l'**Univers**



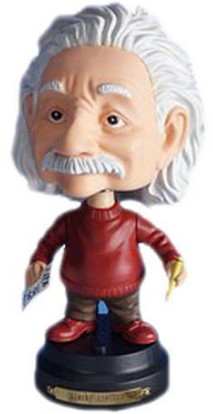
Galaxy Cluster Abell 1689 HST • ACS
NASA, N. Benitez (JHU), T. Broadhurst (Hebrew Univ.), H. Ford (JHU), M. Clampin (STScI), G. Hartig (STScI), G. Illingworth (UCO/Lick Observatory), the ACS Science Team and ESA STScI-PRC03-01a

Newton vs Einstein



□ Théorie classique de la gravitation

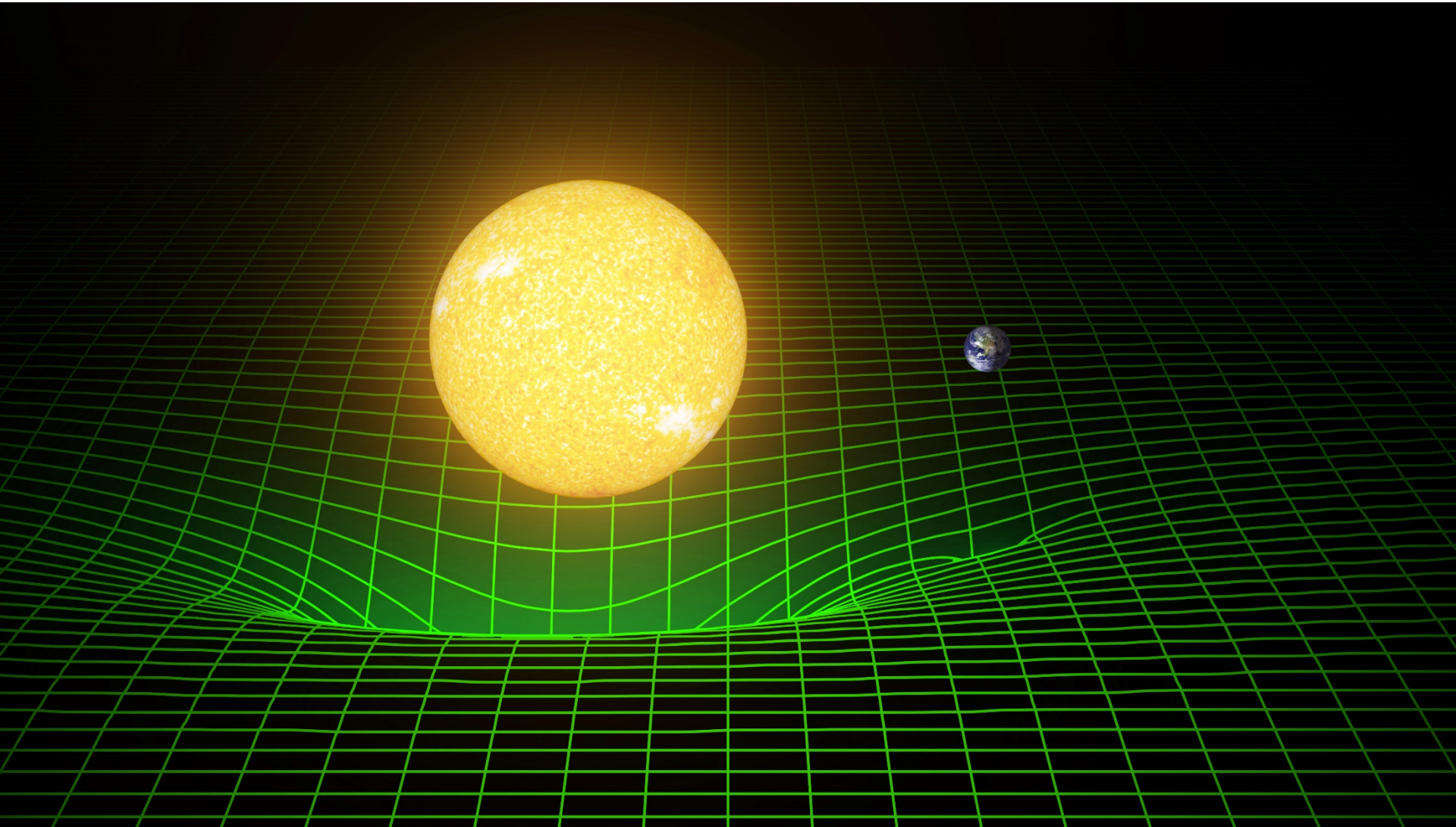
- Espace plat, temps absolu
- $F = G m_1 m_2 / r^2$
- Action à distance instantanée



□ Théorie moderne de la gravitation (relativité générale)

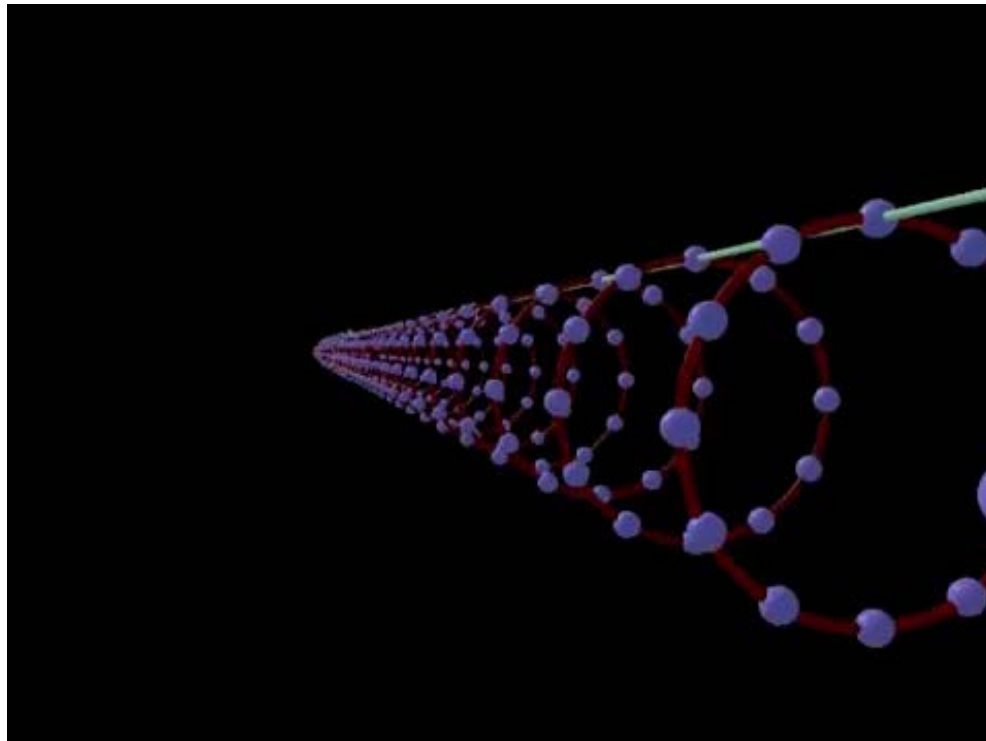
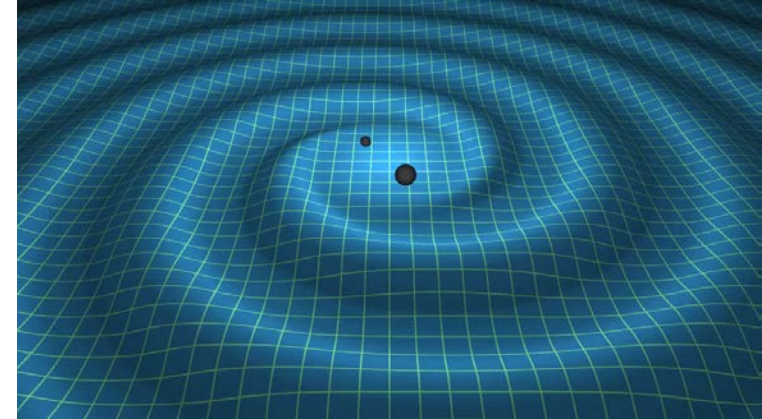
- Espace et temps liés, espace-temps dynamique
- Principe d'équivalence : masse inertielle = masse gravitationnelle
- Attraction gravitationnelle = manifestation de la courbure de l'espace-temps
- J. A. Wheeler : ***“Space tells matter how to move and matter tells space how to curve”***

La gravitation selon Einstein



Ondes gravitationnelles

- ❑ Fluctuations de la courbure de l'espace-temps se propageant dans l'espace à la vitesse de la lumière
 - Les **distances** séparant des masses libres **changent**



Ondes gravitationnelles : amplitude et sources

- Relation entre l'amplitude de l'onde et la variation de longueur

$$h = 2 \frac{\delta L}{L}$$

Plus la longueur L est grande, plus la variation de longueur δL est grande

- Au niveau de l'observateur

$$h \propto \frac{1}{d}$$

L'amplitude s'amenuise avec la distance entre la source et l'observateur

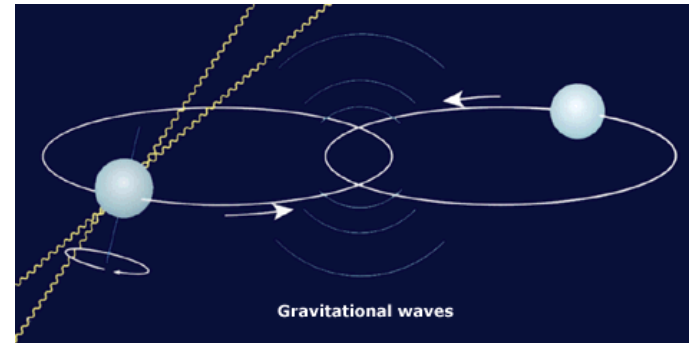
- Quelles sources?
 - Génération en laboratoire : amplitude (beaucoup) trop faible
 - Sources astrophysiques (masses et accélérations mises en jeu énormes)
 - Malgré la pénalité de la distance

PSR 1913+16 : les noces d'émeraude d'un couple star

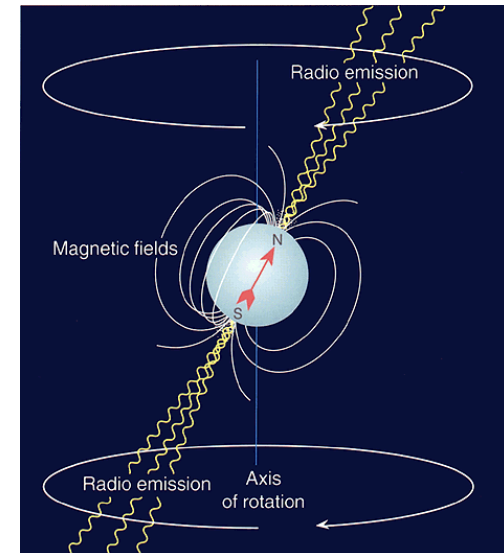
❑ Découvert par R.Hulse et J.Taylor en 1974

- Deux **étoiles à neutrons** en orbite l'une autour de l'autre
 - Étoile à neutrons : $\sim 1,4$ fois la masse du Soleil dans un astre d'environ 30 km de diamètre !
 - Période orbitale du système ~ 8 heures
- Une des étoiles est un **pulsar**
 - Pulsar : étoile à neutrons en rotation émettant des faisceaux d'ondes radio le long de l'axe des pôles magnétiques
 - ➔ Phénomène de « phare »
L'observateur reçoit des impulsions radio
 - La mesure du temps d'arrivée des impulsions permet de déterminer tous les **paramètres du système**

❑ Prix Nobel en 1993



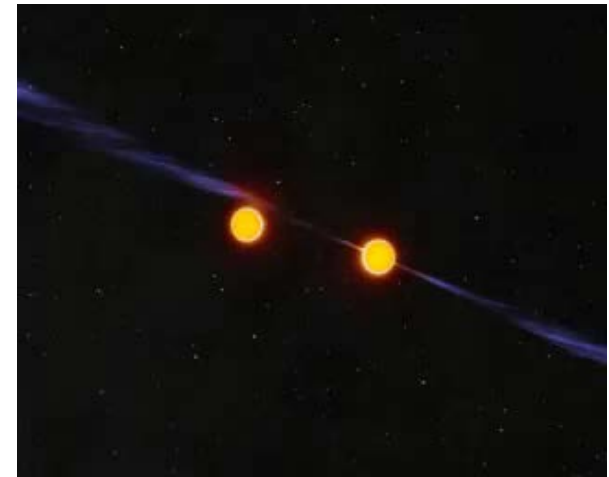
The Nobel Foundation, 1993



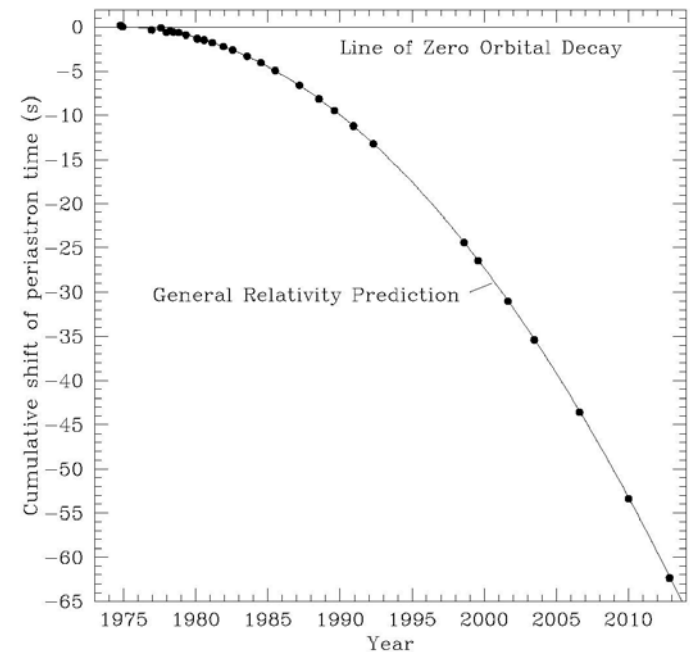
The Nobel Foundation, 1993

Ondes gravitationnelles : première preuve

- ❑ La **période orbitale** du système décroît avec le temps
 - L'orbite rétrécit
- ❑ Le système **perd de l'énergie** par rayonnement gravitationnel
 - Accord au millième près entre la décroissance de la période orbitale observée et la prédiction de la Relativité Générale
- ❑ Preuve indirecte seulement
 - Restait à mettre en évidence les **effets physiques** d'une onde gravitationnelle



John Rowe Animation/Australia
Telescope National Facility, CSIRO



J. M. Weisberg et al., 2016

Quelles sources? Anticipons un peu...

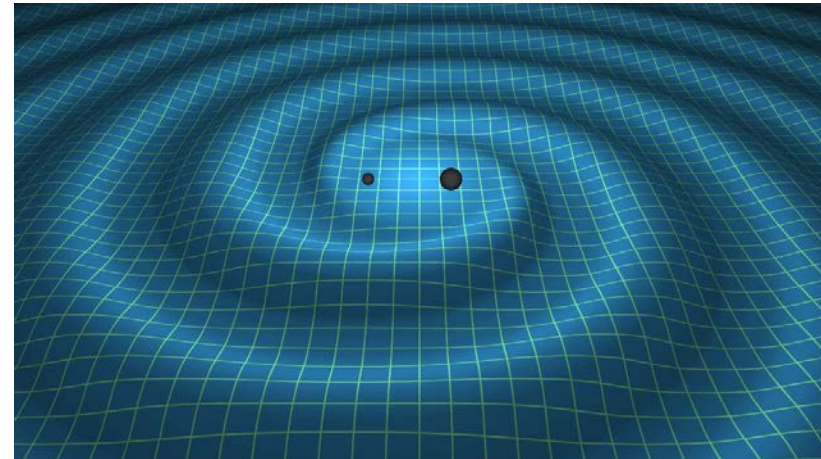
- ❑ La gamme de fréquence des détecteurs interférométriques terrestres est **10 Hz – 10 kHz**
 - C'est aussi la gamme de fréquence accessible à l'oreille humaine

- ❑ La fréquence des ondes gravitationnelles émises par le système PSR 1913+16 est **$\sim 0,07$ mHz**
 - Inaccessible aux détecteurs terrestres

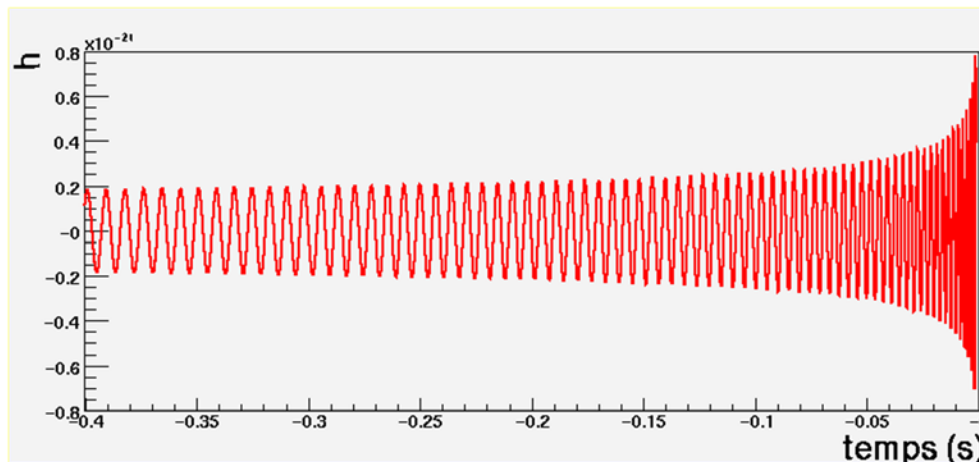
- ❑ Envisager d'autres sources
 - Dans la gamme de fréquence accessible
 - Détectable avec une sensibilité réaliste
 - Phénomènes relativement fréquents

Coalescences binaires d'astres compacts

- ❑ Systèmes binaires d'astres compacts à la fin de leur évolution
 - Étoiles à neutrons et/ou trous noirs
- ❑ Phénomène **très rare** dans la Galaxie
 - Quelques dizaines par million d'années
- ❑ Amplitude typique (étoiles à neutrons)
 - $h \sim 10^{-22}$ à 20 Mpc
 - 1 parsec = 3,26 années lumière
- ❑ Forme d'onde **très caractéristique**



Courtesy Caltech/MIT/LIGO Laboratory



Ondes gravitationnelles : enjeux

- ❑ Explorer en profondeur la **gravitation**
 - Ondes gravitationnelles produites dans des phénomènes violents du cosmos, où les effets gravitationnels sont extrêmes
 - Gravitation au cœur des énigmes de la cosmologie d'aujourd'hui (énergie noire & matière sombre)
- ❑ Ouvrir une nouvelle fenêtre sur l'Univers
 - Nouveau **messenger** complémentaire de l'astronomie traditionnelle
 - Un outil pour **l'astrophysique et la cosmologie**
- ❑ Challenge instrumental
 - Des détecteurs hors du commun : **interféromètres géants** à la sensibilité diabolique

Challenge expérimental

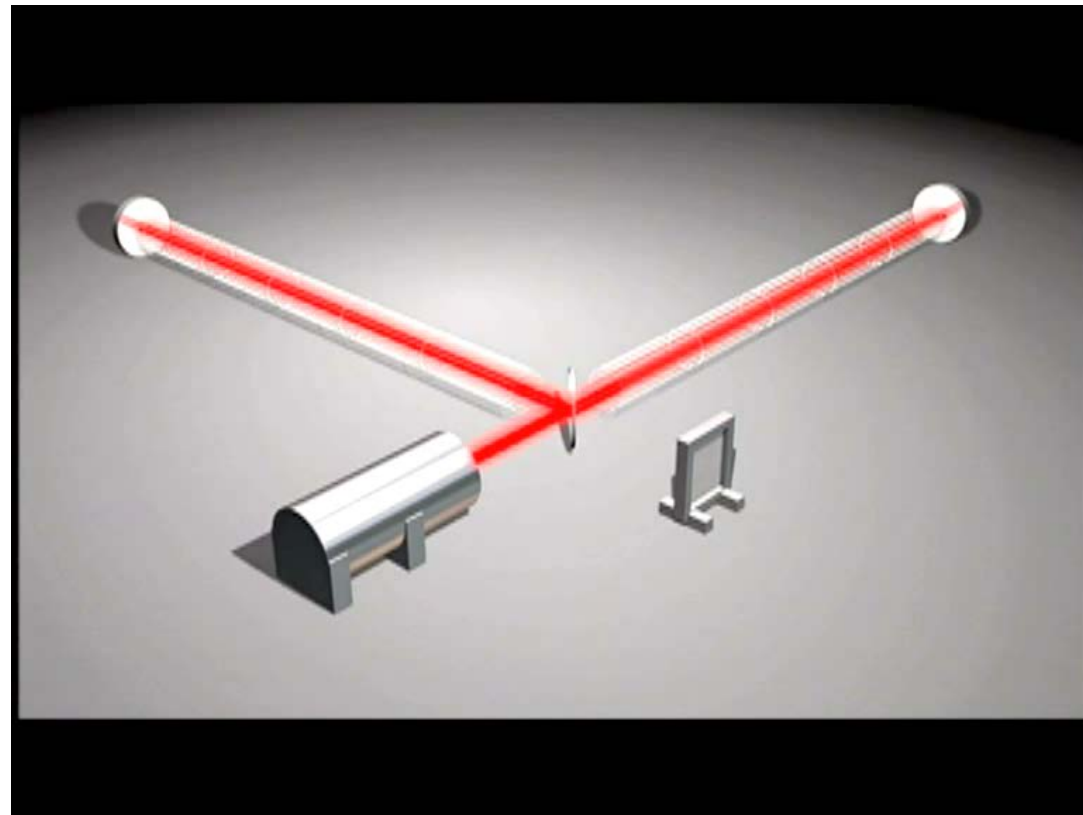
- Amplitude de l'onde \equiv variation relative de distance

$\leq 10^{-21}$ pour le signal
reçu sur Terre

\equiv Observer une variation
de la distance entre la
Terre et le Soleil
correspondant à la taille
d'un atome

- Une quête de 50 ans

- D'abord avec des
détecteurs du type
« barres résonnantes »
- Depuis ~ 20 ans, avec des
détecteurs
interférométriques géants



Courtesy Caltech/MIT/LIGO Laboratory

Un réseau de détecteurs

Advanced LIGO
Hanford
2015



GEO600 (HF)
2011

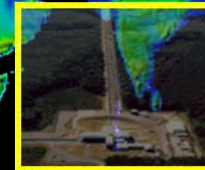


KAGRA
2017

Advanced LIGO
Livingston
2015

Advanced
Virgo
2016

LIGO-India
2022



LIGO

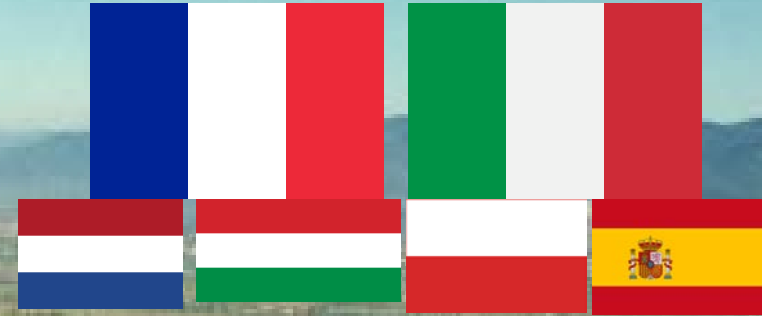
2 interféromètres de 4 km

- Un en Louisiane
- Un dans l'état de Washington
- Un troisième sera installé en Inde

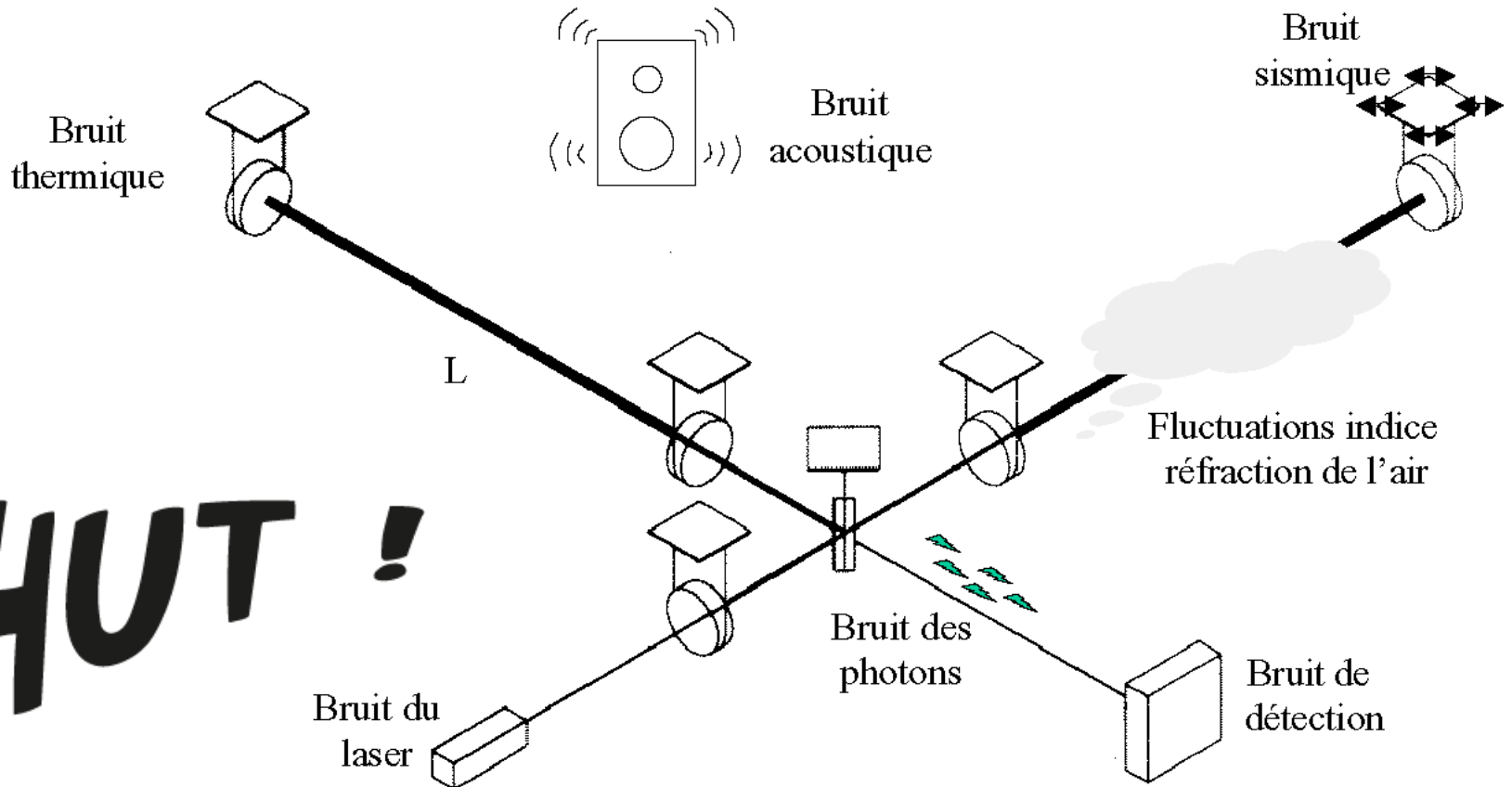


Virgo

- 3 km, près de Pise en Italie
- Projet piloté par le CNRS (Fr) + l'INFN (It)
 - + Pays-Bas, Hongrie, Pologne, Espagne
- ~200 personnes, 20 laboratoires

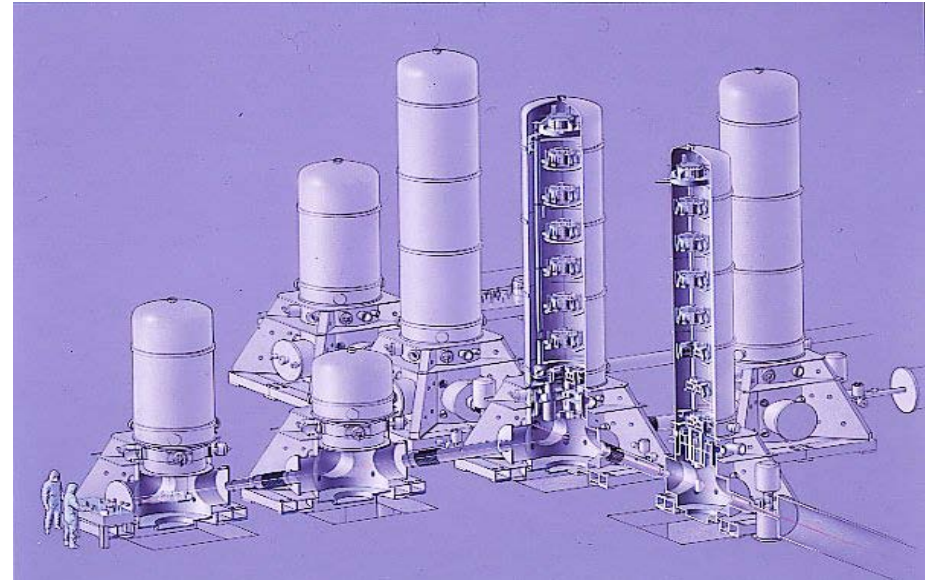


Les sources de bruit de fond



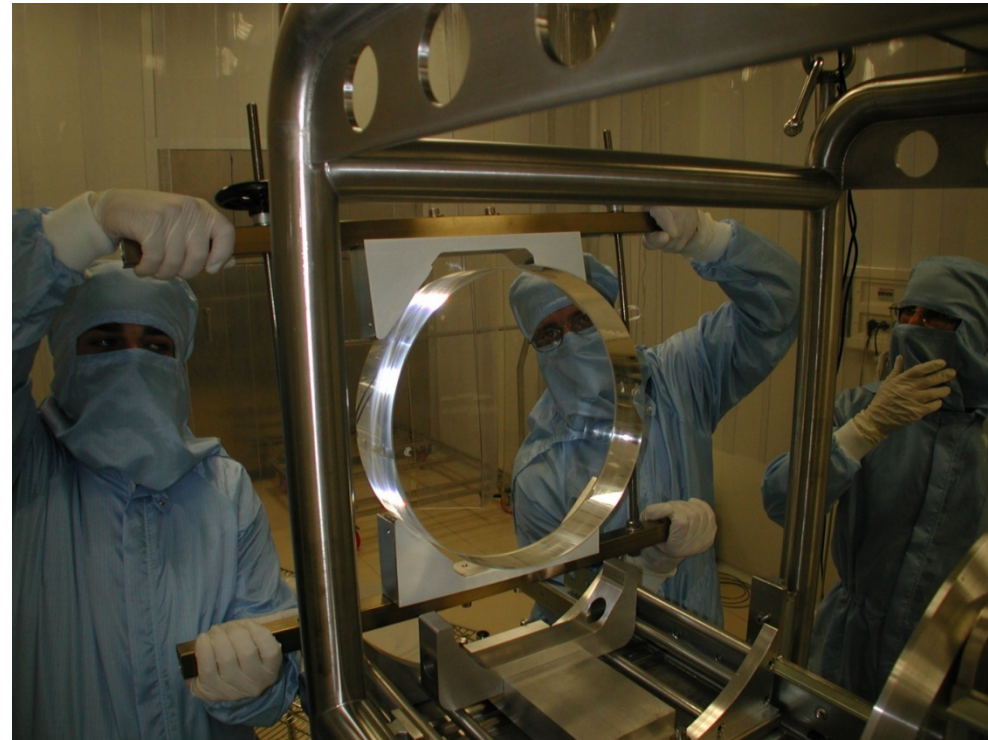
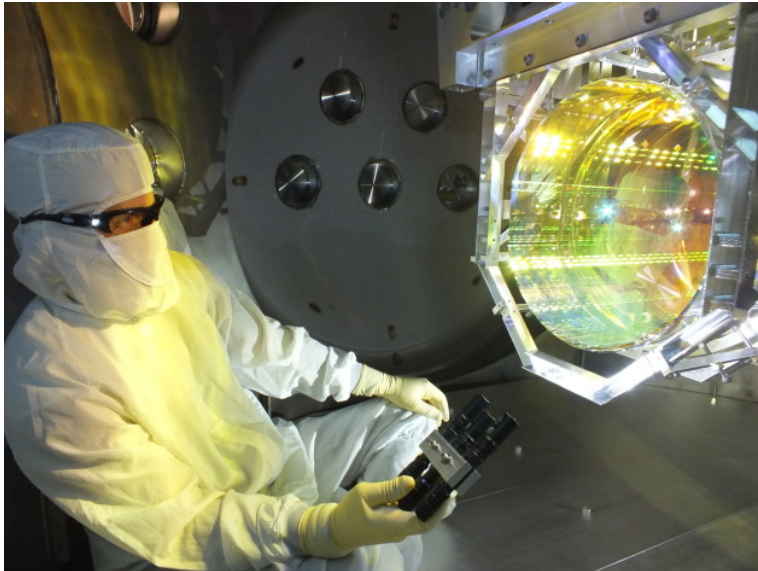
Sous (ultra) vide

- ❑ Se protéger du **bruit acoustique**
- ❑ Éviter le **bruit de mesure** qui proviendrait des fluctuations d'indice de réfraction de l'air
- ❑ Conserver la **propreté** des miroirs



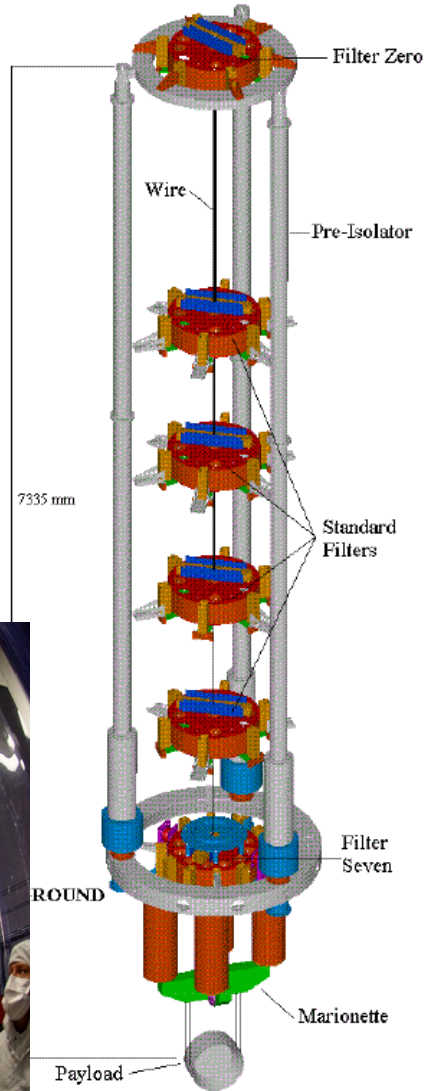
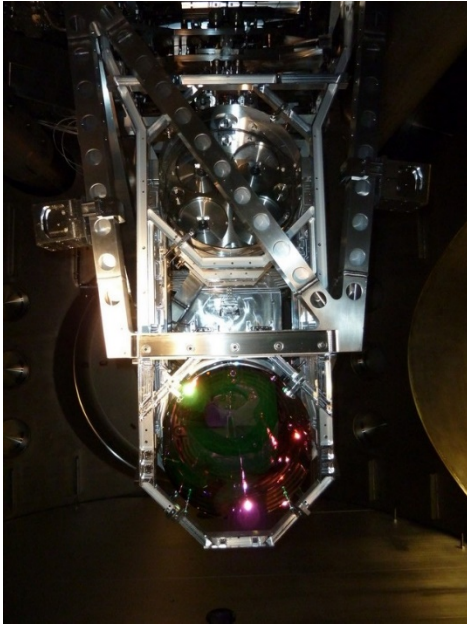
Miroirs

- ❑ Grands miroirs
- ❑ Miroirs quasi-parfaits
- ❑ Manipulés en salles blanches

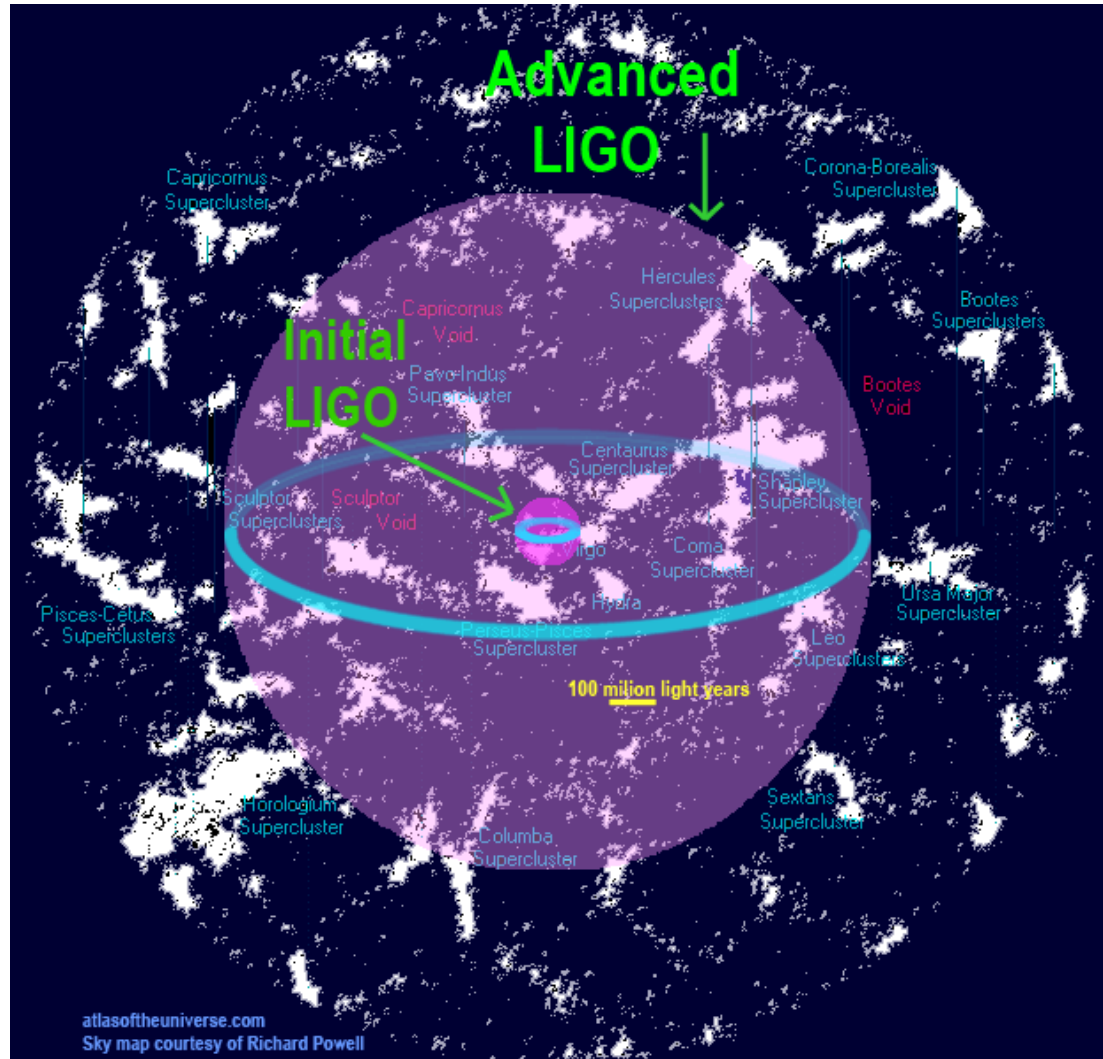


Traitement de surface réalisé par le
Laboratoire des Matériaux Avancés à Lyon

Isolation sismique



De la première à la deuxième génération d'instruments



Pourquoi travailler en réseau?



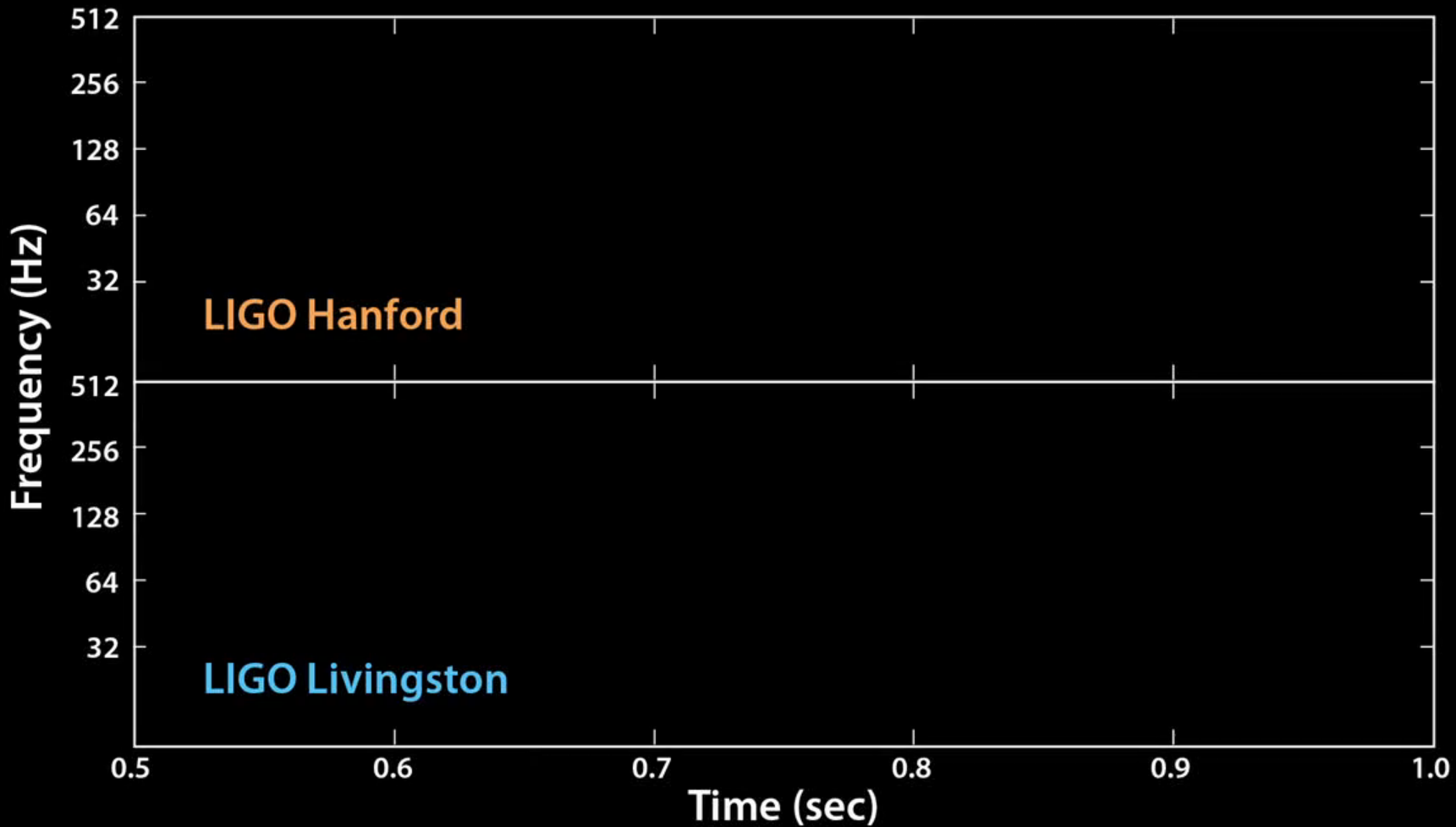
≡



≡



- ❑ Pas de direction privilégiée, il faut comparer les signaux dans plusieurs détecteurs pour déterminer la **direction de la source** par triangulation
- ❑ On cherche à observer des signaux rares et faibles, une **observation simultanée** dans au moins deux détecteurs est nécessaire



Les collaborations LIGO et Virgo ont la joie
de vous faire part de l'observation de

GW150914

Le 14 septembre 2015 à 09:50:45 UTC | $29 + 36 M_{\odot}$

La publication scientifique

Observation of Gravitational Waves from a Binary Black Hole Merger

The LIGO Scientific Collaboration and The Virgo Collaboration

Authors

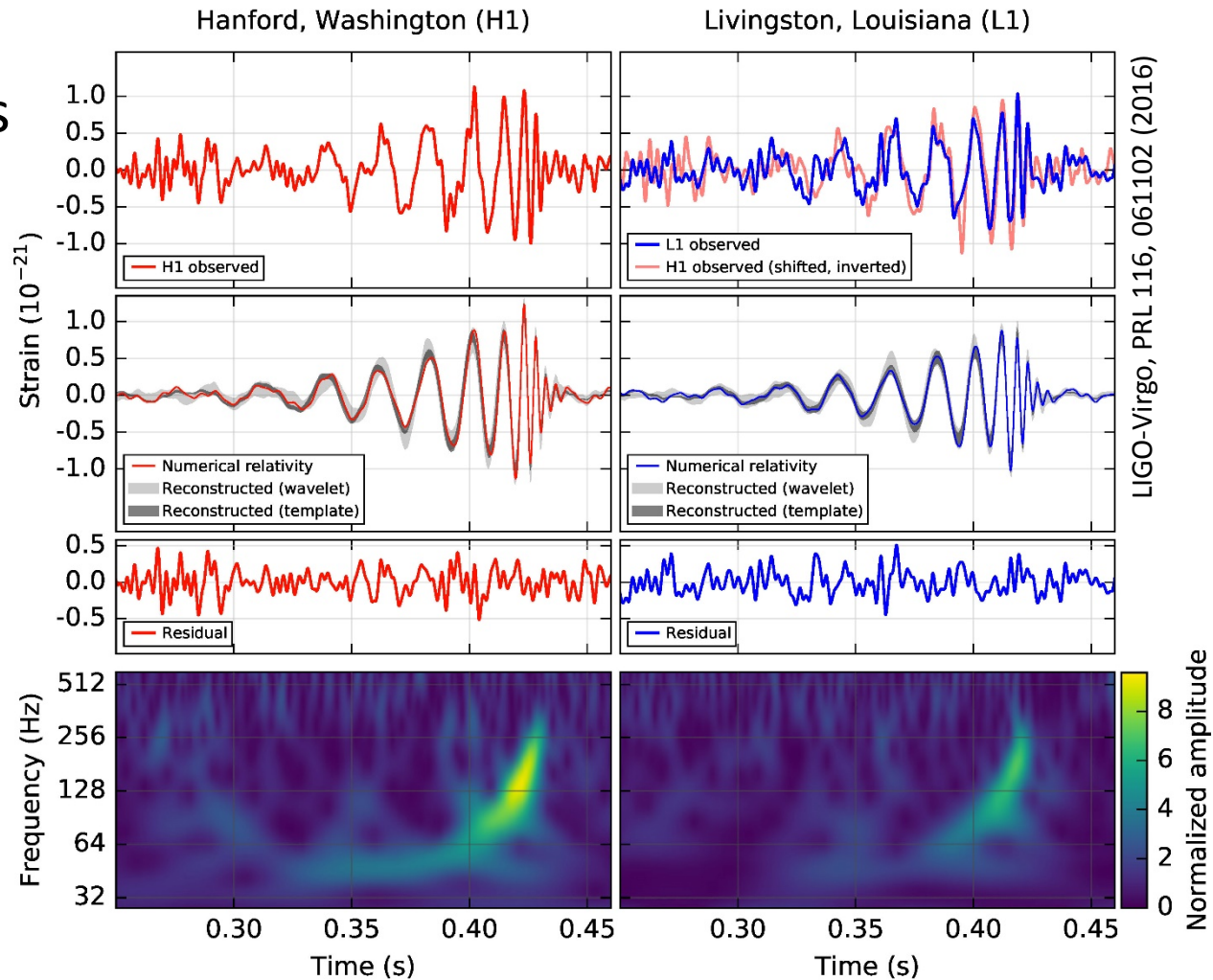
B. P. Abbott,¹ R. Abbott,¹ T. D. Abbott,² M. R. Abernathy,¹ F. Acernese,^{2,4} K. Ackley,⁵ C. Adams,⁶ T. Adams,⁷ P. Addesso,⁸ R. X. Adhikari,⁹ V. B. Adya,¹⁰ C. Affeldt,¹¹ M. Agathos,⁸ K. Agatsuma,¹² N. Aggarwal,¹³ O. D. Aguiar,¹⁴ L. Aiello,^{15,16} A. Ain,¹⁷ P. Ajith,¹⁸ B. Allen,¹⁹ A. Allocca,^{20,21} P. A. Altin,²² S. B. Anderson,¹⁹ W. G. Anderson,¹⁶ K. Ariji,²³ M. A. Arain,²⁴ M. C. Araya,²⁵ C. C. Arceneaux,²⁶ J. S. Areeda,²⁷ N. Armutu,²⁸ K. G. Arun,²⁹ S. Aschen,³⁰ T. Ashton,³¹ D. Ashton,³² M. Ast,³³ S. M. Aston,³⁴ P. R. Astun,³⁵ P. Aufmuth,³⁶ C. Aulbert,³⁷ S. Babak,³⁸ P. Bacon,³⁹ M. K. M. Bader,⁴⁰ P. T. Baker,⁴¹ F. Baldacchino,⁴² G. Ballardin,⁴³ S. W. Ballmer,⁴⁴ J. C. Barayoga,⁴⁵ S. E. Barar,⁴⁶ B. C. Barish,⁴⁷ D. Barker,⁴⁸ F. Barone,⁴⁹ B. Barr,⁵⁰ L. Barstoft,⁵¹ M. Barsuglia,⁵² D. Barta,⁵³ J. Bartlett,⁵⁴ M. A. Barton,⁵⁵ I. Bartos,⁵⁶ R. Bassiri,⁵⁷ A. Basti,^{58,59} J. C. Batch,⁶⁰ C. Baune,⁶¹ V. Bavagadda,⁶² M. Bazzani,⁶³ B. Behke,⁶⁴ M. Bejger,⁶⁵ C. Belczynski,⁶⁶ A. S. Bell,⁶⁷ C. J. Bell,⁶⁸ B. K. Berger,⁶⁹ J. Bergman,⁷⁰ G. Bergmann,⁷¹ C. P. L. Berry,⁷² D. Bersanetti,⁷³ A. Bertolini,⁷⁴ J. Betzwieser,⁷⁵ S. Bhagwat,⁷⁶ R. Bhandari,⁷⁷ I. A. Bilenko,⁷⁸ G. Billingsley,⁷⁹ J. Birch,⁸⁰ R. Birney,⁸¹ O. Birnholtz,⁸² S. Biswas,⁸³ A. Bishfi,⁸⁴ M. Birosio,⁸⁵ C. Biver,⁸⁶ M. A. Bizouard,⁸⁷ J. K. Blackburn,⁸⁸ C. D. Blair,⁸⁹ D. G. Blair,⁹⁰ R. M. Blair,⁹¹ S. Blomson,⁹² G. Bock,⁹³ T. P. Boddy,⁹⁴ M. Boer,⁹⁵ G. Bogger,⁹⁶ C. Bogan,⁹⁷ A. Bohn,⁹⁸ P. Bojtos,⁹⁹ C. Bond,¹⁰⁰ F. Bonducci,¹⁰¹ R. Bondard,¹⁰² W. A. Boone,¹⁰³ R. Bork,¹⁰⁴ V. Boschi,¹⁰⁵ S. Bose,¹⁰⁶ S. J. Bouffanis,¹⁰⁷ A. Bozzi,¹⁰⁸ C. Bradaschia,¹⁰⁹ P. R. Brady,¹¹⁰ V. B. Bragagnolo,¹¹¹ M. Branchesi,¹¹² J. E. Brau,¹¹³ T. Briant,¹¹⁴ A. Brillet,¹¹⁵ M. Brinkmann,¹¹⁶ V. Brisson,¹¹⁷ P. Brockill,¹¹⁸ A. E. Brooks,¹¹⁹ D. A. Brown,¹²⁰ D. D. Brown,¹²¹ N. M. Brown,¹²² C. C. Buchanan,¹²³ A. Buikema,¹²⁴ J. J. Bullman,¹²⁵ A. Buonanno,^{126,127} D. Buskulic,¹²⁸ C. Buy,¹²⁹ R. L. Byer,¹³⁰ M. C. Cabero,¹³¹ L. Cadonati,¹³² G. Cagnoli,¹³³ G. Cailhen,¹³⁴ J. Calderón Bustillo,¹³⁵ T. Callister,¹³⁶ E. Calloni,¹³⁷ J. B. Camp,¹³⁸ K. C. Cannon,¹³⁹ J. Cao,¹⁴⁰ D. C. Capaso,¹⁴¹ E. Capocasa,¹⁴² F. Carbognani,¹⁴³ S. Caride,¹⁴⁴ J. Casanueva Diaz,¹⁴⁵ C. Casentini,¹⁴⁶ S. Casodil,¹⁴⁷ M. Cavaglia,¹⁴⁸ F. Cavalieri,¹⁴⁹ R. Cavalieri,¹⁵⁰ G. Cells,¹⁵¹ C. Cepeda,¹⁵² L. Cerboni Baccari,¹⁵³ G. Cerretani,¹⁵⁴ E. Cesarini,¹⁵⁵ R. Chakraborty,¹⁵⁶ T. Chalermsongkri,¹⁵⁷ S. J. Chamberlin,¹⁵⁸ M. Chan,¹⁵⁹ S. Chao,¹⁶⁰ P. Charlin,¹⁶¹ E. Chassanec-Mottin,¹⁶² H. Y. Chen,¹⁶³ Y. Chen,¹⁶⁴ C. Cheng,¹⁶⁵ A. Chincarini,¹⁶⁶ A. Chinnappa,¹⁶⁷ H. S. Cho,¹⁶⁸ M. Cho,¹⁶⁹ J. H. Chow,¹⁷⁰ N. Christensen,¹⁷¹ Q. Chu,¹⁷² S. C. Chung,¹⁷³ G. Ciani,¹⁷⁴ F. Clara,¹⁷⁵ J. A. Clark,¹⁷⁶ C. E. Cole,¹⁷⁷ J. Conti,^{178,179} P.-F. Cohandou,¹⁸⁰ A. Colla,¹⁸¹ G. C. Collette,¹⁸² L. Cominsky,¹⁸³ M. Constanzi,¹⁸⁴ J. A. Conzo,¹⁸⁵ L. D. Coor,¹⁸⁶ T. R. Corbett,¹⁸⁷ N. Cornish,¹⁸⁸ A. A. Corsi,¹⁸⁹ S. Cortese,¹⁹⁰ D. A. Costa,¹⁹¹ M. W. Coughlin,¹⁹² S. R. Coughlin,¹⁹³ J. P. Coulon,¹⁹⁴ S. T. Countryman,¹⁹⁵ P. Couvares,¹⁹⁶ E. E. Cowan,¹⁹⁷ D. M. Coward,¹⁹⁸ M. J. Cowart,¹⁹⁹ D. C. Coyne,²⁰⁰ J. R. Coyne,²⁰¹ K. Craig,²⁰² J. D. E. Creighton,²⁰³ J. Cripe,²⁰⁴ S. G. Crowder,²⁰⁵ A. M. Cruise,²⁰⁶ A. Cunningham,²⁰⁷ L. Cunningham,²⁰⁸ E. Cuoco,²⁰⁹ T. D. Danz,²¹⁰ S. L. Danilishin,²¹¹ S. D'Antonio,²¹² K. Danzmann,²¹³ N. S. Danurman,²¹⁴ C. F. Da Silva Costa,²¹⁵ V. Dattilo,²¹⁶ I. Davelos,²¹⁷ M. F. Dawke,²¹⁸ M. Davy,²¹⁹ C. S. Davies,²²⁰ F. E. J. Daw,²²¹ R. Day,²²² S. De,²²³ P. D. DeBra,²²⁴ G. DeBra,²²⁵ J. Degallaix,²²⁶ M. De Laurentis,²²⁷ G. S. DeLéglise,²²⁸ W. Del Pozzo,²²⁹ I. Denker,²³⁰ T. Dent,²³¹ H. Derezi,²³² V. Dergachev,²³³ R. T. DeRosa,²³⁴ R. De Rosa,²³⁵ G. F. Deslauriers,²³⁶ S. Dharwadkar,²³⁷ M. C. Díaz,²³⁸ L. Di Fiore,²³⁹ M. Di Giovanni,²⁴⁰ Z. D. Di Lieto,^{241,242} S. Di Pace,²⁴³ I. Di Palma,²⁴⁴ A. Di Virgilio,²⁴⁵ G. Dojcinovski,²⁴⁶ V. Dotti,²⁴⁷ F. Donovan,²⁴⁸ L. K. Dooley,²⁴⁹ S. Doravari,²⁵⁰ R. Douglaz,²⁵¹ T. P. Downes,²⁵² M. Drago,²⁵³ R. W. P. Drever,²⁵⁴ J. C. Driggers,²⁵⁵ Z. Du,²⁵⁶ M. Ducrot,²⁵⁷ S. E. Dwyer,²⁵⁸ T. B. Edy,²⁵⁹ M. C. Edwards,²⁶⁰ A. Effler,²⁶¹ H.-B. Eggenstein,²⁶² P. Ehrens,²⁶³ J. Eichholz,²⁶⁴ S. S. Eikenberry,²⁶⁵ W. Engels,²⁶⁶ R. C. Essick,²⁶⁷ T. Etzel,²⁶⁸ J. M. Evans,²⁶⁹ T. M. Evans,²⁷⁰ R. Everett,²⁷¹ M. Factorovich,²⁷² V. Fafone,²⁷³ S. S. 12, H. Fair,²⁷⁴ S. Fairhurst,²⁷⁵ X. Fan,²⁷⁶ Q. Fang,²⁷⁷ S. Farinon,²⁷⁸ B. Farr,²⁷⁹ W. M. Farr,²⁸⁰ M. Favata,²⁸¹ M. Fays,²⁸² H. Fehrmann,²⁸³ M. M. Fejer,²⁸⁴ D. Feldbaum,²⁸⁵ J. Ferrante,²⁸⁶ P. E. Ferreira,²⁸⁷ F. Ferreira,²⁸⁸ F. Fiduciaro,²⁸⁹ L. S. Finn,²⁹⁰ I. Fiori,²⁹¹ D. Fiorucci,²⁹² H. P. Fischer,²⁹³ R. Flaminio,²⁹⁴ G. M. Fletcher,²⁹⁵ H. Fong,²⁹⁶ J.-D. Formes,²⁹⁷ S. Franco,²⁹⁸ S. France,²⁹⁹ F. Frasconi,³⁰⁰ M. H. Frode,³⁰¹ Z. Frei,³⁰² A. Freise,³⁰³ R. Frey,³⁰⁴ V. Frey,³⁰⁵ T. Fricke,³⁰⁶ P. Frischel,³⁰⁷ U. V. Fulco,³⁰⁸ P. Fulda,³⁰⁹ M. Pyffke,³¹⁰ H. A. G. Gabbard,³¹¹ J. R. Gair,³¹² I. G. Gammaitoni,³¹³ S. G. Gaonkar,³¹⁴ F. Garufi,³¹⁵ A. Gatto,³¹⁶ G. Gau,³¹⁷ N. Gehrels,³¹⁸ G. Gemme,³¹⁹ B. Genzel,³²⁰ E. Genin,³²¹ A. Gennai,³²² J. George,³²³ L. Gergely,³²⁴ V. Germain,³²⁵ Abhirup Ghosh,³²⁶ Archisman Ghosh,³²⁷ S. Ghosh,³²⁸ J. A. Giaime,³²⁹ K. D. Giardina,³³⁰ A. Gizzi,³³¹ U. K. Gill,³³² A. Glikelick,³³³ J. R. Glison,³³⁴ F. Goetz,³³⁵ R. Goetz,³³⁶ L. Gondan,³³⁷ G. González,³³⁸ L. M. González Castro,³³⁹ A. Gopakumar,³⁴⁰ N. A. Gordon,³⁴¹ M. L. Gorodetskiy,³⁴² S. E. Gossan,³⁴³ M. Gosselin,³⁴⁴ R. Govaty,³⁴⁵ C. Graef,³⁴⁶ P. G. Graf,³⁴⁷ M. Grunata,³⁴⁸ A. Grant,³⁴⁹ S. Gras,³⁵⁰ G. Gray,³⁵¹ G. Greco,³⁵² A. A. Green,³⁵³ R. J. S. Greenhalgh,³⁵⁴ P. Groot,³⁵⁵ H. Grote,³⁵⁶ S. Grunewald,³⁵⁷ G. M. Guiffrè,³⁵⁸ X. Guo,³⁵⁹ A. Gupta,³⁶⁰ M. K. Gupta,³⁶¹ K. E. Gustafson,³⁶² E. K. Gustafson,³⁶³ R. Gustafson,³⁶⁴ J. J. Hacke,³⁶⁵ T. B. Hall,³⁶⁶ D. Hall,³⁶⁷ G. Hammond,³⁶⁸ M. Hanes,³⁶⁹ M. M. Hanke,³⁷⁰ J. Hant,³⁷¹ S. C. Hanna,³⁷² M. D. Hannam,³⁷³ J. Hanson,³⁷⁴ S. Hardwick,³⁷⁵ J. Harms,³⁷⁶ G. M. Harry,³⁷⁷ I. W. Harry,³⁷⁸ J. J. Hart,³⁷⁹ M. T. Hartman,³⁸⁰ C. J. Haster,³⁸¹ K. Haughaug,³⁸² J. Healy,³⁸³ J. Heefner,³⁸⁴ A. Heidmann,³⁸⁵ M. C. Heintz,³⁸⁶ M. Heintz,³⁸⁷ G. Heinzl,³⁸⁸ H. Heitmann,³⁸⁹ P. Hello,³⁹⁰ G. Hermining,³⁹¹ M. Hendry,³⁹² I. S. Heng,³⁹³ J. Hennig,³⁹⁴ A. W. Heptonstat,³⁹⁵

1009 auteurs – dont 75 Français – dont 133 laboratoires



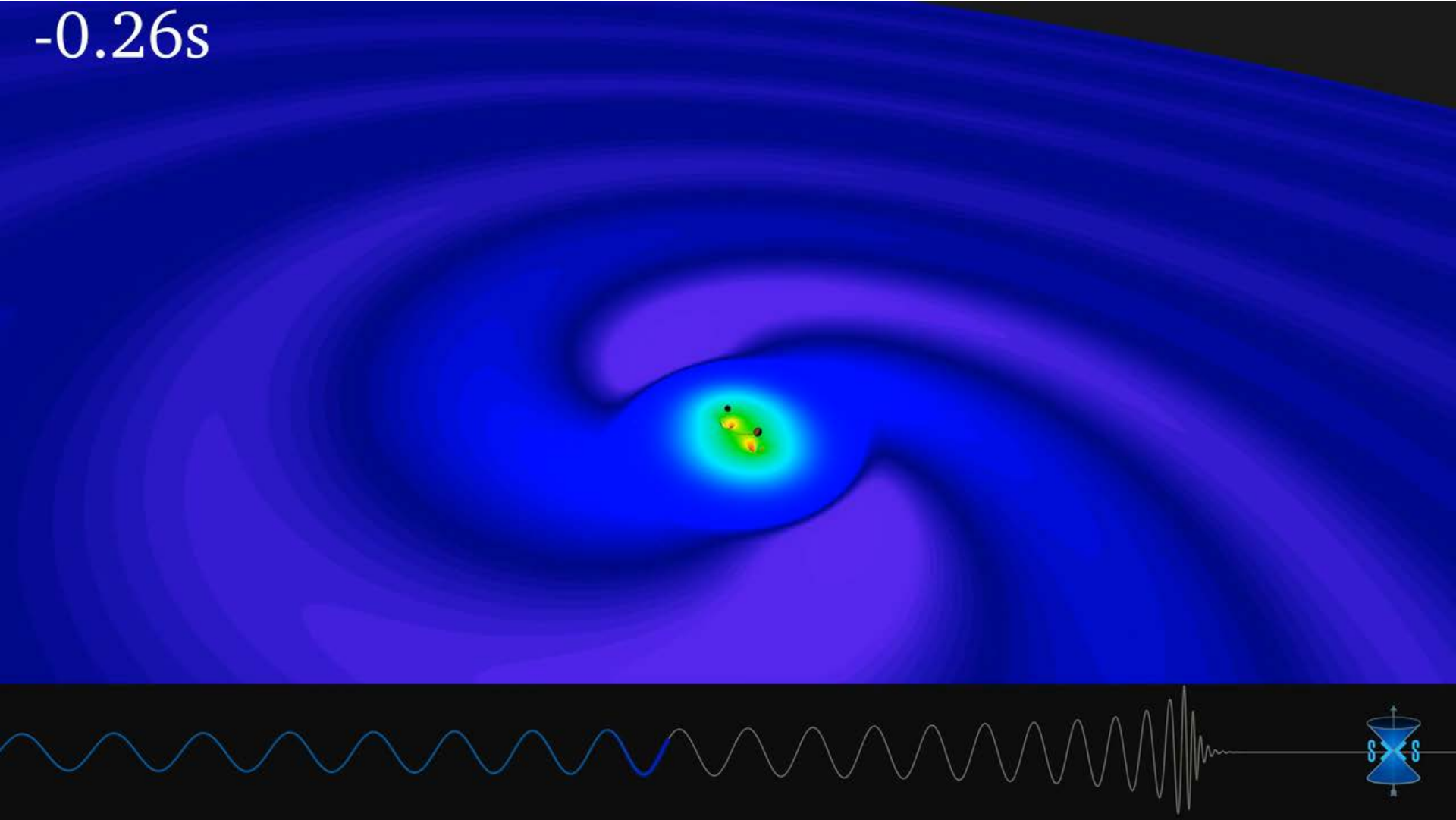
Le signal observé

- Même signal dans les deux détecteurs LIGO, avec un décalage de **7 ms**
- Evolution caractéristique d'une coalescence
- Signal extrait des données en accord avec le signal attendu pour la coalescence de deux trous noirs de **36 et 29 fois la masse du Soleil**

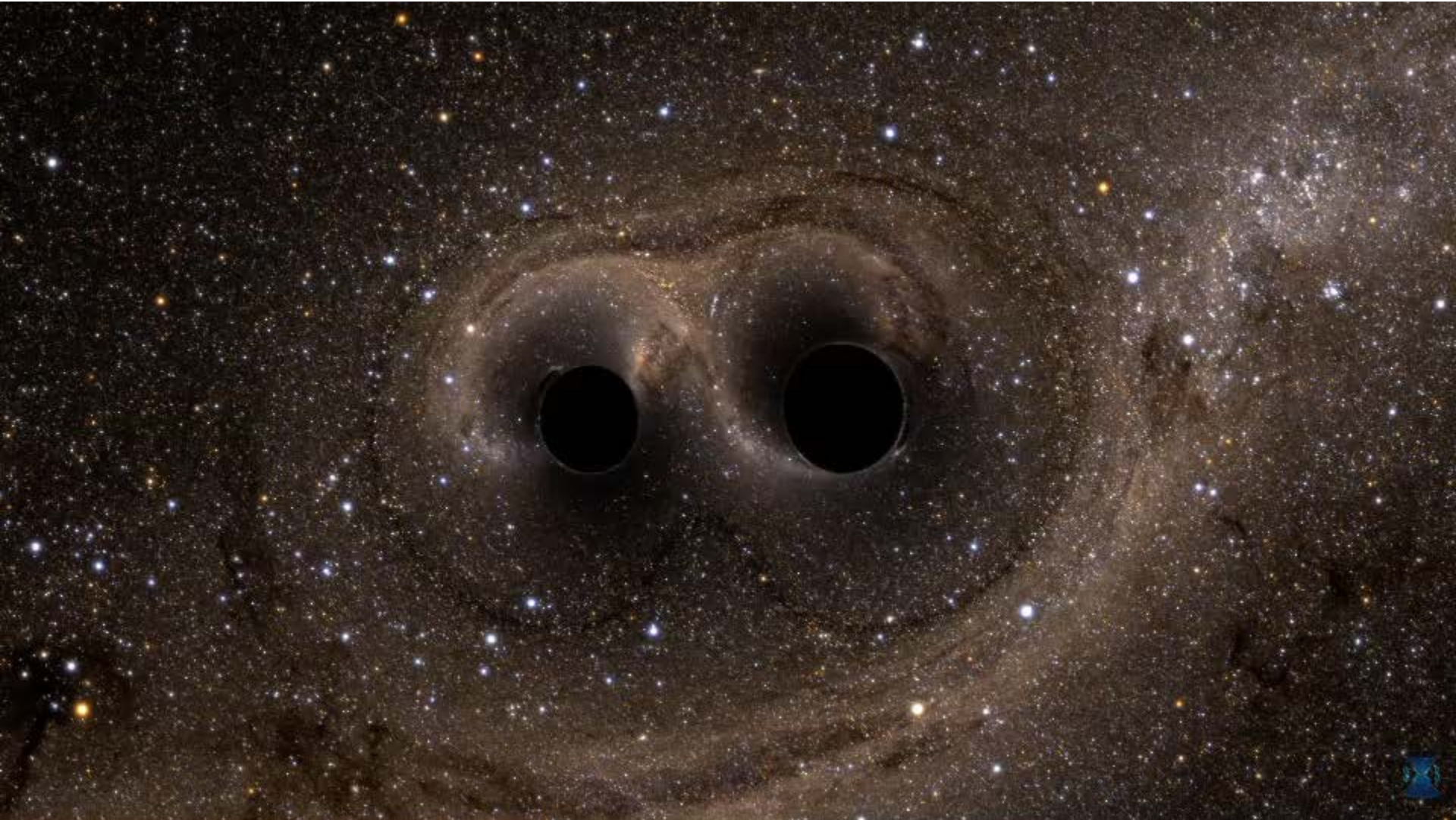


Du signal à la source

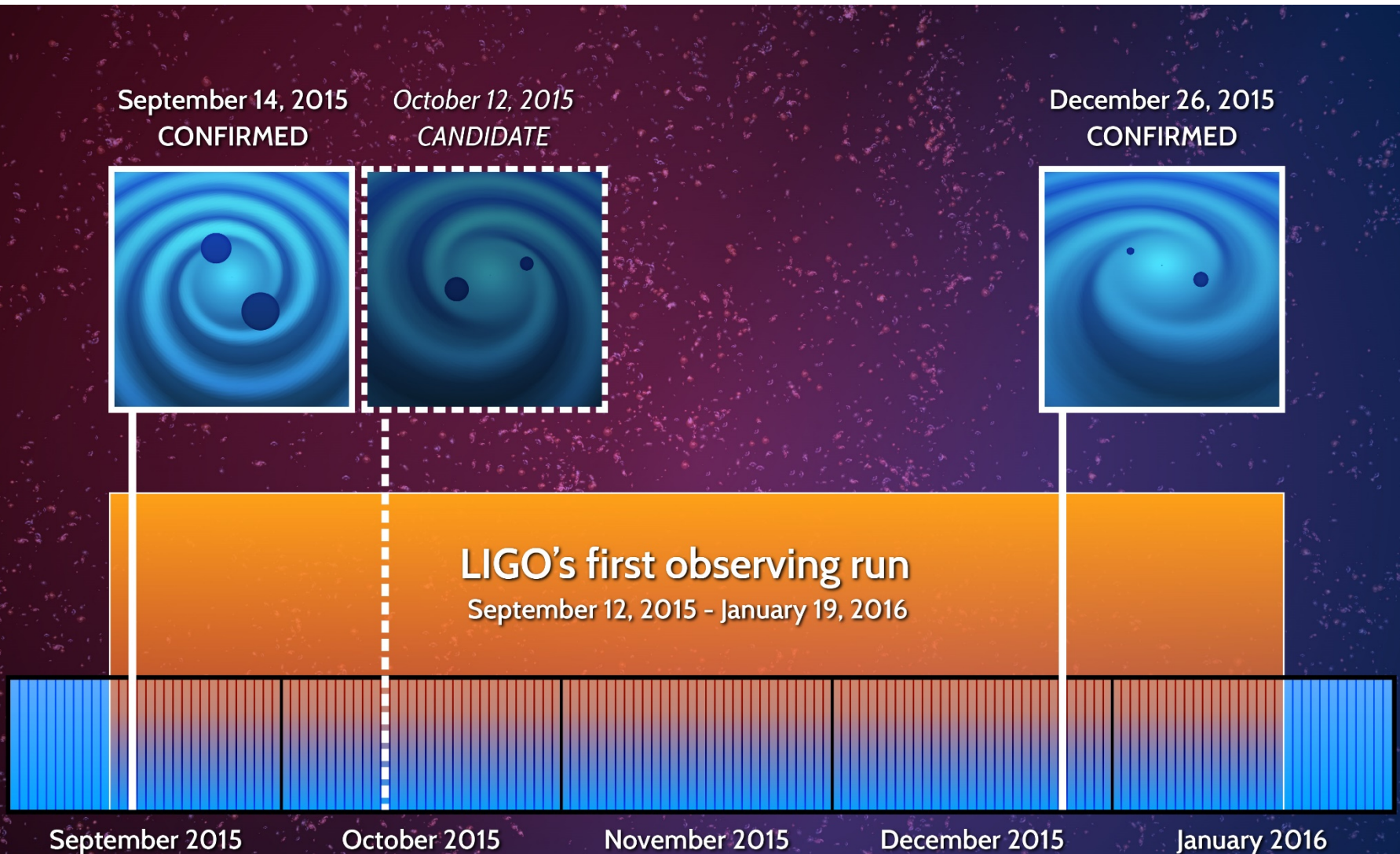
-0.26s



Comme si vous y étiez



Premières photos de famille

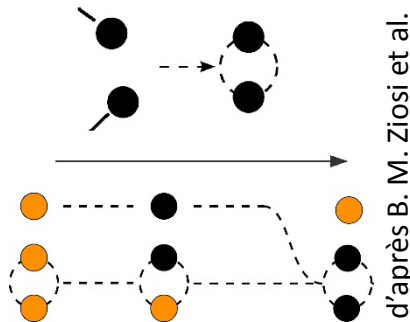
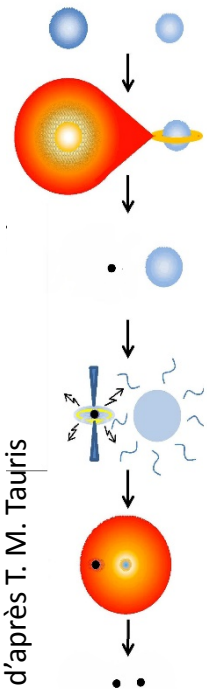


GW150914 en quelques chiffres saisissants

- ❑ **Amplitude** au maximum du signal $h \sim 10^{-21}$
 - La longueur des bras de LIGO a changé de $4 \cdot 10^{-18}$ m
 - Quatre millièmes de la taille d'un proton
- ❑ **Distance** de la source $D \sim 1,3$ milliard d'années-lumière
 - Les ondes émises lors de la coalescence se sont propagées dans l'espace pendant $\sim 1,3$ milliard d'années avant de traverser la Terre le 14 septembre 2015
- ❑ **Energie** émise par le système de trous noirs sous forme d'ondes gravitationnelles $E \sim 62 - (36 + 29) = 3 M_{\odot}$
 - La plupart dans la fraction de seconde précédant la fusion
- ❑ **Luminosité** au maximum du signal $\mathcal{L} \sim 200 M_{\odot} / s$
 - Brièvement plus puissant que toutes les galaxies de l'Univers
 - Brièvement plus « brillant » que la pleine lune malgré la distance

Implications astrophysiques

- ❑ Première **observation directe** de trous noirs
- ❑ Il existe des trous noirs de masse stellaire **relativement lourds** ($> 25 M_{\odot}$)
 - L'environnement des étoiles mères favorise de faibles vents stellaires

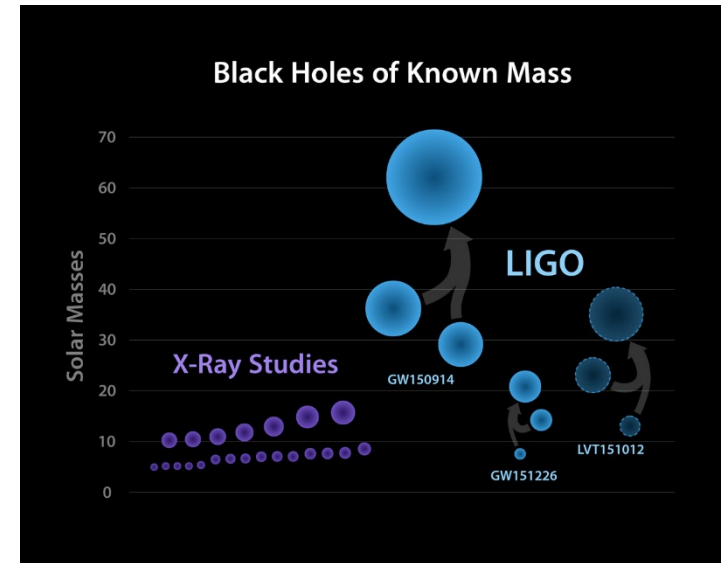


d'après B. M. Ziosi et al.

- ❑ La nature forme des **systèmes binaires de trous noirs**

- GW150914 et GW151226 ne permettent pas d'identifier le mécanisme de formation
- Issus de systèmes binaires d'étoiles massives ou formés dynamiquement par capture?

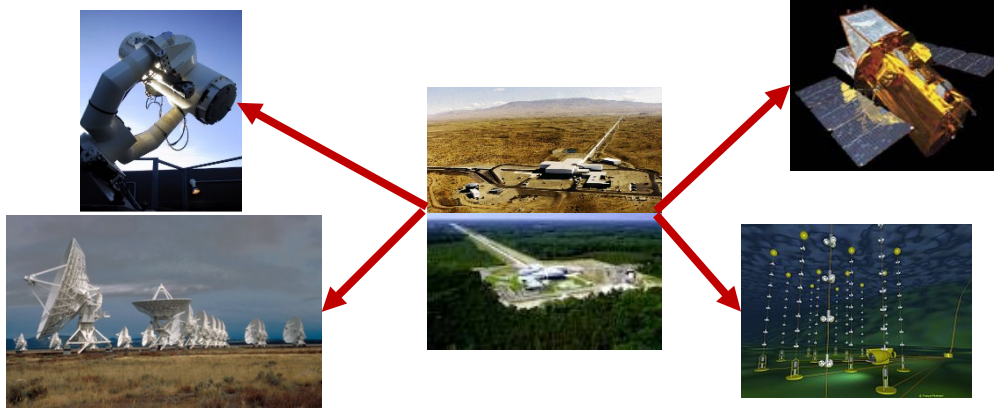
- ❑ Ces systèmes évoluent jusqu'à la **coalescence** en un temps inférieur à l'âge de l'Univers
- ❑ Ces coalescences se produisent relativement **souvent**



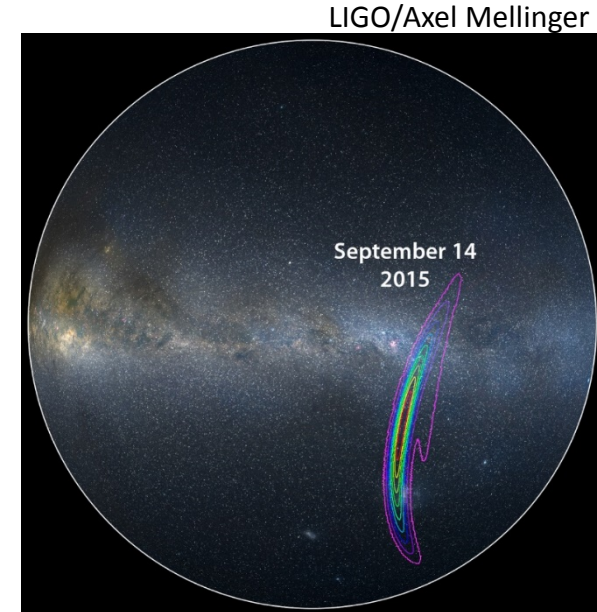
Courtesy Caltech/MIT/LIGO Laboratory

Astronomie multi-messenger

- Accord entre LIGO et Virgo et des **partenaires de l'astronomie traditionnelle**
 - LIGO et Virgo diffusent **rapidement** l'information sur les événements intéressants
 - 70 accords conclus, 160 instruments couvrant **tout le spectre** des ondes radio aux rayons gamma de très haute énergie



- 25 équipes ont réalisé des **observations de suivi** de GW150914 dans les jours / semaines suivants
 - A la recherche d'un éventuel signal électromagnétique associé
 - Difficile : zone probable de GW150914 $\sim 590 \text{ deg}^2$



Explorer la gravitation

- ❑ Vitesse orbitale dans le système solaire $v/c \sim 10^{-5}$
- ❑ Pulsar binaire le plus relativiste connu à ce jour
 - J0737-3039, vitesse orbitale $v/c \sim 2 \times 10^{-3}$
- ❑ GW150914 et GW151226
 - Champ gravitationnel très fort, effets non linéaires, vitesse orbitale élevée $v/c \sim 0,5$
- ❑ Premiers tests inédits de la gravitation
 - Les signaux observés correspondent-il aux prédictions de la Relativité Générale ?
 - Oui !** (A la précision permise par ces deux observations)
 - Contrainte sur la masse d'un hypothétique graviton

Conclusion et perspectives

- ❑ 2015 : Premières détections directes d'ondes gravitationnelles, premières détections de systèmes de trous noirs
- ❑ Une prouesse instrumentale
- ❑ Une vérification de la Relativité Générale, et l'avènement d'un nouvel outil pour la tester de façon approfondie
- ❑ L'émergence d'une nouvelle discipline scientifique, l'astronomie des ondes gravitationnelles
- ❑ 2016 : Nouvelle campagne d'observation avec LIGO
- ❑ 2017 : Virgo va redémarrer les observations
- ❑ Plus de détecteurs, des détecteurs de plus en plus sensibles, des campagnes d'observation plus longues...
 - Des premières détections à la routine... et à l'inattendu ?

Un peu de pub



Encore un peu de pub



La nuit des ondes gravitationnelles

Une soirée festive

Le 20 mars 2017, au Grand Rex à Paris et dans de nombreuses villes partout en France

Des concours ouverts à tous

Envoyez vos réalisations jusqu'au 15 février 2017